

ORIGINAL

COMUNIDADES BENTÓNICAS SUBMARINAS DEL LITORAL DE LUGO. I. RE-
SULTADOS PRELIMINARES.

(Título abreviado: Bentos del litoral de Lugo, I)

* Carles Gili
** Ricardo Anadón
* Josep Carbonell
* Ignasi Olivella
* Joandomènec Ros

ABSTRACT

UNDERWATER BENTHIC COMMUNITIES OF THE LUGO LITORAL. I. PRELI-
MINARY RESULTS

The succint description of the soft and hard bottoms of the Cantabrian littoral of San Ciprián de Burela (Lugo, Galicia) between 0 and 32 m deep, and the inventories of 31 hard-substrata stations prospected by scuba-diving and of 13 soft-substrata stations sampled with a dredge are given. The distribution and density of Laminaria ochroleuca and L. hyperborea are mapped, and the general sampling results briefly discussed in terms of faunistic and floristic composition, specific diversity and general physionomy of the zone, as well as a tentative bionomy.

* Departamento de Ecología. Facultad de Biología. Universidad de Barcelona. Gran Vía de les Corts Catalanes, 585, Barcelona, 7.

** Departamento de Zoología. Facultad de Ciencias. Universidad de Oviedo. Oviedo.

Se efectuaron 31 estaciones de inmersión en los lugares que, a partir de las cartas marinas 731-A, 931 y 932, parecían a priori representativos de los distintos sectores. En el interior de la ensenada de San Ciprián se realizó un mayor número de inmersiones que en la zona aledaña (fig. 1), así como se distribuyeron las estaciones de forma que quedara cubierta toda la zona de la costa y las distintas profundidades, en especial los fondos entre 10 y 20 m, que constituyen aproximadamente la mitad de la superficie total de la zona. Se hicieron 9 estaciones en fondos de 0 a 10 m, 15 de 10 a 20 m, y 7 estaciones a más de 20 m de profundidad (tabla I).

Para la estimación cuantitativa de los organismos bentónicos se pelaron superficies cuadradas de 20 cm de lado y se recogió todo el material obtenido para su posterior separación, determinación y estudio en el laboratorio. La elección a priori de la superficie de muestreo puede ser criticada en base a la necesidad de establecer previamente el área mínima (NIELL, 1977), pero la utilización que se ha hecho de los datos, esencialmente bionómica, disculpa en parte el método.

Se efectuó asimismo una recolección paralela de ejemplares de tamaño grande que por esta razón podían quedar subrepresentados en las muestras de 20 x 20 cm, aunque por la arbitrariedad de este tipo de muestreo sólo se tuvieron en cuenta presencias, y en algún caso especial, dominancia de ciertas especies. En las tablas II a VII los inventarios de los distintos grupos se dan, por lo general, utilizando los valores de los muestreos puntuales y, además, los de muestreo de la macrofauna.

Para estimar la abundancia de las especies de Laminaria se contaron los individuos (pies) por metro cuadrado sobre las superficies rocosas horizontales o subhorizontales; en algún caso se hizo lo mismo con los pies de Saccorhiza polyschides. Los datos procedentes de los muestreos generales, de los paralelos (especies "acompañantes") y de la densidad de Lami-

INTRODUCCIÓN

En julio y agosto de 1976 un equipo formado básicamente por biólogos del Departamento de Ecología de la Universidad de Barcelona llevó a cabo un estudio intensivo del litoral de San Ciprián de Burela (Lugo, Galicia), destinado a obtener una información preliminar sobre la que basar futuras investigaciones. Estos primeros resultados parciales se comentan aquí en lo referente al poblamiento de los fondos sumergidos, mientras que en otros lugares se describe la franja intermareal (ANADÓN et al., 1979) y se listan las cerca de seiscientas especies identificadas en ambos estudios (POLO et al., 1979).

El objetivo de esta comunicación es básicamente el de ofrecer los datos obtenidos, con una elaboración mínima, con el fin de que estén a disposición de los estudiosos de la zona. Una segunda parte de este trabajo se está elaborando en la actualidad.

ZONA DE ESTUDIO; MATERIAL Y MÉTODOS

La zona estudiada está comprendida aproximadamente entre los 43°44'20" y los 43°41'30" de latitud N, y los 7°30' y los 7°25' de longitud W (fig. 1), y supone una superficie aproximada de 15 Km² de fondos de arena, grava (cascajo) y roca entre los 0 (nivel del mar en marea baja) y los 32 m de profundidad.

Dada la heterogeneidad de los sustratos a muestrear y la extensión de la zona, tras haber realizado unas inmersiones previas de reconocimiento se adoptaron dos técnicas de muestreo distintas: el muestreo directo, mediante inmersión, en los fondos duros, y el muestreo indirecto, mediante rastreras, en los blandos.

referencia tanto para la cartografía como para el desarrollo ulterior del estudio. Para ello se tuvo en cuenta, sobre todo, la continuidad del sustrato rocoso y la existencia de accidentes en el mismo, así como la presencia de grandes fórmulas. Esta clasificación en tipos de fondos no pretende ser bionómica, y será el posterior estudio de los inventarios y la comparación con otros fondos bien conocidos lo que, en todo caso, permitirá establecer la bionomía del infra- y circalitoral de San Ci prián. En la tabla I se indica el tipo de fondo al que corresponde cada muestra, y en las figuras 3 a 6 se esquematiza el aspecto general y el poblamiento típico de estos fondos, según la clave de la figura 2. Los tipos establecidos son:

Tipo 1

Fondo totalmente rocoso, horizontal o subhorizontal (inclinación máxima de 30°). Recubrimiento continua de Laminaria spp. (véase el apartado siguiente para la distinción bionómica de las dos especies de Laminaria) sobre sustrato horizontal, y a poca profundidad también Sac-corhiza polyschides; entre 6 y 15 m de profundidad. Dos subtipos: 1a, sin grandes accidente (fig. 3), y 1b, fondo accidentado; abundancia de filtradores en paredes verticales (fig. 4).

Tipo 2

Fondo totalmente rocoso, muy accidentado, con grandes desniveles verticales (de hasta 10 m). Poca densidad de Laminaria spp., sólo presente sobre las rocas horizontales menos profundas; abundan las algas incrustantes y la fauna esciáfila. De los 16 a los 32 m de profundidad, entre Punta Morás e Isla Ansarón (fig. 5).

naria se han utilizado para el esbozo de caracterización de las comunidades que se da más adelante.

Sobre las zonas de arena y grava (cascajo) no visitadas en inmersión se realizaron 13 muestras con una draga de actuación horizontal o rastra (fig. 1); el aparato empleado es un modelo modificado y simplificado de la naturalist's rectangular dredge del Marine Biological Laboratory, Plymouth (HOLME & MCINTYRE, 1971), en una versión intermedia entre los números 1 y 2 (heavy) originales, y que se complementó con una dotación de dientes basales. Los arrastres se realizaban durante un período de 5 minutos a una velocidad constante de 3 nudos y utilizando un cable de nilón cuya longitud era de 1,5 a 3 veces la profundidad de la zona a muestrear. Los resultados obtenidos pueden referirse, por tanto, a superficie arrastrada, lo que sin embargo no se ha hecho en este primer tratamiento.

Los organismos obtenidos mediante uno y otro método eran contados, pesados o se estimaba su abundancia-cobertura. De algunos fondos blandos se obtuvo parte del sustrato para el análisis granulométrico. Para el presente trabajo no se han tenido en cuenta los pocos datos hidrográficos que sobre la zona existen, a excepción del sentido general de las corrientes costeras, que en parte explican la distribución de las especies de Laminaria.

RESULTADOS Y DISCUSIÓN

1. Descripción de los fondos de la zona

La amplitud de la zona a estudiar y la heterogeneidad de los fondos prospectados hicieron necesaria una primera clasificación de los mismos (figuras 1 y 9: fondos de arena, de arena y roca y de roca). Posteriormente se estableció una clasificación preliminar en tipos, como

dos de 20 o más m las segundas; la muestra de la rastre 4, frente al río Lago, refleja asimismo la superposición de la grava y del fango propio de la desembocadura fluvial.

2. Densidad de Laminaria sp

En la mayor parte de los fondos estudiados abundan dos especies de Laminaria, L. ochroleuca y L. hyperborea (véase POLO et al., 1979), la densidad de cuyas poblaciones se calculó como queda indicado (véanse columnas correspondientes en la tabla I). De una manera general, en los primeros metros y en el límite inferior del horizonte de Himanthalia hyperborea, en el piso mediolitoral (ANADON et al., 1979), el recubrimiento algal no suele deberse a Laminaria, sino a Saccorhiza polyschides, cuyos filoides quedan al descubierto regularmente durante las mareas vivas. Inmediatamente por debajo de este nivel el recubrimiento del fondo se reparte entre esta especie y las dos de Laminaria, al tiempo que continúa siendo denso, mientras que a mayor profundidad S. polyschides desaparece rápidamente y cede la plaza a las otras dos feofíceas. Del estudio de los valores de densidad de éstas se pueden hacer las siguientes consideraciones; en ellas no se distingue entre las dos especies de Laminaria, aunque, como se deduce del examen de la tabla I y de los esquemas de las figuras 3 a 5, existe un predominio casi constante de L. ochroleuca sobre L. hyperborea, que sólo desaparece e incluso se invierte en fondos de tipo 4b, así como cuando la densidad general es baja. A densidades altas el predominio es para L. ochroleuca (la relación aproximada L. ochroleuca: L. hyperborea es de 4-7:1):

Los valores de densidad de Laminaria spp. son bajos en los primeros metros del piso infralitoral (0 a 5 m), aumentan hasta alcanzar valores medios máximos (16 individuos /m²) entre los 9 y los 12 m de profundidad y luego

Tipo 3

Fondo totalmente rocoso, ligeramente inclinado o subhorizontal. Ausencia de Laminaria y pobreza general en organismos. De 22 a 25 m, entre Farallones y Cabo San Ci- prián (fig. 6).

Tipo 4

Alternancia de fondos rocosos y arenosos; presencia de Laminaria spp. según la profundidad; entre 8 y 21 m. Es el tipo de fondo más frecuente (fig. 1): dos subtipos: 4a, con predominancia de roca sobre arena; 4b, con predominancia de arena sobre roca.

Tipo 5

Fondos de arena. Los análisis granulométricos realizados sobre las muestras de sedimentos blandos no son muy informativos por haberse considerado prácticamente sólo la fracción arenosa (no se hicieron muestreos sobre los fondos fangosos, por lo demás escasos, de la zona). Los porcentajes de composición de las catorce muestras que parecen más significativas (7 obtenidas en inmersión, I, y otras 7 mediante rastreras, R) se indican en las figuras 7 y 8. Las catorce muestras se distribuyen como se indica a continuación (véase fig. 1):

- Fondos de arena fina y muy fina (fangosa): 3R, 6R y 7R; 21, 171 y 20I.
- Fondos de arena gruesa y muy gruesa: 1R, 9R y 10R; 12I, 18I, 21I y 28I
- Fondos de grava y fango: 4R.

Esta composición general concuerda bien con la distribución de las muestras: más costeras las primeras y en fon-

tes, respectivamente, concuerdan bien con las que dan distintos autores (véase la revisión de DREW, 1971, por ejemplo). La presencia o ausencia de Laminaria spp. a profundidades elevadas (25 m y más) parece depender sobre todo del régimen hidrodinámico de las zonas consideradas, como ocurre entre Cabo San Ciprián y Los Farallones (ausencia total de Laminaria spp.: río Cobo, hidrodinamismo reducido) y entre Punta Morás y Los Farallones (presencia, aunque reducida, de las dos fœofíceas: menor incidencia del aporte fluvial y zona batida por las corrientes). Véase la fig. 10.

3. Inventarios de las muestras

A partir de los muestreos puntuales y de las muestras paralelas y de visu realizadas en inmersión, se han elaborado los inventarios de las tablas II a VII para las distintas especies de algas (tabla II), esponjas y cnidarios (III), poliquetos y sipuncúlidos (IV), moluscos (V), crustáceos (VI) y briozoos, equinodermos y ascidias (tabla VII). En ellas las muestras se han agrupado por tipos de fondo (véase tabla I) y las ocurrencias de las distintas especies en cada muestra se indican en número de individuos, en peso o, más comúnmente, mediante presencias. Los inventarios procedentes de los muestreos realizados con rastras se han agrupado en la tabla VIII. En POLO *et al.* (1979) se listan las especies vegetales y animales que, en número de unas trescientas, se han obtenido en el presente estudio.

En los histogramas de las figuras 11 y 12 se representa el número total de especies de cada grupo faunístico, y el porcentaje de este número, respectivamente, que se obtuvo en cada muestra. Los grupos dominantes, tanto en número de individuos como en porcentaje sobre el total, son generalmente los mejor estudiados: crustáceos, moluscos y, en menor medida, poliquetos. Las muestras

descienden hasta los 25 m de profundidad (presencia) o más (unos pocos individuos dispersos y poco desarrollados).

Esta distribución se ha ilustrado en la figura 14a. Tomando valores medios de la densidad de las dos Laminaria en intervalos de 5 m de profundidad, se observa asimismo una disminución uniforme de la densidad de estas poblaciones, mientras que si los intervalos son de 3 m, se pone de manifiesto un aumento inicial (entre 5 y 8 m) que no corresponde a un gran aumento de la ocupación del fondo, sino a la sustitución de S. polyschides por las dos especies de Laminaria (fig. 14a). Las poblaciones de Laminaria ochroleuca y L. hyperborea con densidades entre 26 individuos/m² (valor máximo de los hallados) y 10 individuos/m² presentan un estrato superior muy característico, a modo de techo continuo, formado por las frondes a una altura media de 1,5 m sobre el sustrato de roca. Este estrato macrofítico elevado o arborescente dificulta en gran medida el paso de la luz hasta el fondo, y a su abrigo aparecen especies en el estrato cespitoso o "herbáceo" que son propias de profundidades más elevadas (nótese la similitud del poblamiento del sustrato en las figuras 3 y 5).

Los valores de densidad llevados al mapa de la zona han permitido establecer una cartografía de las poblaciones de las dos especies de Laminaria (fig. 9); los fondos con densidades más altas se localizan generalmente en los lugares más expuestos, más sometidos al hidrodinamismo marino y más alejados de los aportes fluviales (Isla Ansarón-Punta Morás y Las Pedrosas-Centolleira, así como en la parte exterior de los Farallones). Las poblaciones establecidas en el interior de la ensenada de San Ciprián, relativamente cerrada, protegida por Los Farallones y con el aporte de distintos ríos, son muy uniformes pero menos densas. Estas condiciones favorables y limitan-

de buscarse en las características ambientales más estables y en la composición del mismo (fondos de tipo 2 y 3).

Las diversidades de las muestras obtenidas mediante ras tra son sistemáticamente mas bajas, a pesar de haberse calculado sobre toda la representación animal de las muestras, y ello ya indica la pobreza relativa de los fondos blandos con respecto a los duros. Sin embargo, la distribución de las diversidades sobre el mapa de la región (fig. 9) indica una buena coincidencia entre diversidades altas y fondos blandos más estables y de grano más grueso, a la vez que la correspondencia entre va lores bajos de diversidad y fondos blandos de grano más fino, más costeros y sometidos a la influencia de los aportes fluviales litorales (véanse también las figuras 7 y 8).

5. Comunidades bentónicas: primera aproximación

El poblamiento de los pisos infra y circalitoral en las costas cantábricas y, en general, atlánticas españolas es muy mal conocido, a excepción (parcialmente) de los fondos blandos (véase, por ejemplo, ANADÓN, 1977, 1979). Se dan a continuación unas impresiones muy generales del poblamiento de los fondos de San Ciprián, a partir de los datos sin tratar indicados hasta ahora; un estudio más profundo sólo es posible después de la consideración de los distintos inventarios y de la comparación con trabajos similares en las vecinas costas portuguesa y francesa (SALDANHA, 1974, 1979; PÉRÈS & PICARD, 1955, 1964; GLEMARÉC, 1973; CASTRIC-FEY et al., 1973; etc.). Lo que sigue debe, pues, entenderse como una primera aproximación susceptible de modificaciones importantes.

720

con mayor número de especies se sitúan entre los 10 y los 15 m de profundidad (tipos de fondo 1 y 4), y el númer o de especies distintas por muestra oscila entre las 13 y las 84. Las consideraciones acerca de la diversidad matizarán estos aspectos.

4. Diversidad de las muestras

Por la facilidad en el recuento del número de individuos y por tratarse de los grupos faunísticos de presencia mas constante , se ha calculado la diversidad específica de crustáceos, moluscos y poliquetos, y la diversidad total de las muestras de inmersión considerando sólo estos tres grupos; se ha utilizado la fórmula de SHANNON-WEAVER (1963), y los resultados se indican en las tablas I y IX. En la tabla VIII se lista la diversidad de las muestras procedentes de rastas, calculada a partir de todos los grupos animales.

En la fig. 13 se han ordenado las muestras por valores crecientes de diversidad, y en la 14b por profundidades crecientes. No se observa ninguna regularidad muy marcada, aunque las diversidades son altas en general (la mayoría de las muestras presentan valores entre 2,3 y 3,5, con un máximo de 4,33), con respecto de la profundidad. Los valores superiores a 3 bits/individuo corresponden en su mayoría a muestras efectuadas entre los 9 y los 17 m (fondos tipos 1 y 4).

Comparando las figuras 14a y 14b se observa una buena coincidencia entre los valores más altos de diversidad y la mayor densidad de Laminaria spp.(8-12 m). Ello sin duda se explica por el efecto de refugio y de "subida" de especies esciáfilas ya comentado, así como por la estabilización ambiental que el poblamiento de las grandes fofocreas procura. En zonas más profundas, con pocas o ninguna fofocrea, la riqueza del poblamiento ha

recubrimientos forma sobre el pedúnculo (a menudo del 70 % o incluso más), aunque se halla también sobre el rizoide y el sustrato rocoso. Las ramificaciones retorcidas y anastomosadas del rizoide forman pequeñas cavidades y recovecos ideales para el establecimiento de una fauna característica: Ophiothrix fragilis, varios sílidos, Potamoceros triqueter, afroditídos, nereídos y eunícidos. Los briozos Crisia denticulata y Scrupocellaria scrupea son frecuentes sobre los rizoides y otros sustratos orgánicos. Abundan, como fauna móvil o fija entre los mismos: Bittium reticulatum, Musculus subpicatus, M. costulatus, Anomia ephippium, Hiatella articata, Tricolia pulla y otros moluscos; Verruca stroemias, Balanus perforatus, B. amphitrite, varias especies de máldos y otros crustáceos, y los sipuncúlicos Phascolosoma vulgare y Phycosoma granulatum.

Estrato cespitoso. Constituido por diversas especies que forman poblaciones bastante densas en las que predominan, alternativamente, rodófitos y feófitos, los primeros con mayor riqueza de especies, pero de menor tamaño. Ulva rigida y Codium elongatum son los únicos clorófitos; entre los rodófitos son abundantes Gelidium sesquipedale, Kallymenia reniformis, Plocamium coccineum, Acrosorium uncinatum, Heterosiphonia plumosa, Chondrus crispus, Rhodymenia palmata y Corallina officinalis. Como feófitos más abundantes aparecen Dictyopteris membranacea, Cystoseira baccata y C. granulata, entre otras.

En este estrato son abundantes los animales epibiontes, como los briozos ya citados sobre las frondes de Laminaria, la ascidia Diplosoma listerianum, los hidroideos Sertularia sp., Campanularia sp., Obelia sp. y otros campanuláridos. Distintas especies de Aglaophenia, Kirchenpaueria y, en ocasiones, Eudendrium, forman parte de este estrato con colonias grandes adheridas al sustrato.

a. Horizonte de Laminaria spp.

Después del horizonte de Hiranthalia elongata (ANADÓN et al., 1979) el recubrimiento algal más importante se debe a Saccorhiza polyschides, que a partir de los 5 m de profundidad es sustituida progresivamente por Laminaria hyperborea y L. ochroleuca (aqui, como en el cálculo de la densidad de estas feofíceas, no se ha distinguido entre las dos especies en este primer enfoque; véase tabla I y figuras 3 a 5). Desde los 8 m hasta los 15 de profundidad (y hasta los 20 m en algunas zonas, ya señaladas anteriormente) y sobre los fondos uniformemente rocosos, la densidad de Laminaria spp. es elevada, entre 10 y 20 individuos/m² por término medio. Este horizonte coincide exactamente con los fondos de tipo 1 y 4, y el poblamiento se divide en tres estratos bien caracterizados: estrato arborescente, estrato cespitoso y estrato incrustante (en CASTRIC-FEY et al., 1973, se indican algunas referencias, al tiempo que se listan las características de estos estratos en la costa armoricana).

Estrato arborescente. Constituido por Laminaria hyperborea, L. ochroleuca (de forma dominante) y Saccorhiza polyschides en las zonas más someras; durante el período estival en el que se desarrolló el estudio, los esporófitos de estos grandes feófitos se hallaban perfectamente desarrollados. Sobre los frondes que constituyen el doble prácticamente continuo ya comentado, existen zonas más o menos extensas cubiertas sobre todo por el briozoo Electra pilosa, algunas especies de hidroideos (sertuláridos, campanuláridos), que también abundan sobre otros sustratos orgánicos y sobre el estípite de L. hyperborea (L. ochroleuca no presenta nunca epibiontes en el estípite); los hidrarios más abundantes son Sertularella rugosa, Sertularia sp. y Diphasia rosacea. Balanus amphitrite es, con mucha diferencia, el epibionte que mayores

dos de tipo 3) son abundantes los feófitos de cierta talla: Cystoseira baccata, Desmarestia aculeata, Halidrys siliquosa, con ejemplares de hasta 80 cm de altura; también son frecuentes Carpomitra costata, Phyllaria reniformis, Dictyota sp.; entre los rodófitos se cuentan: Rhodophyllis divaricata, Dilsea carnosa y Rhodymenia palmata; Ulva rigida es el único clorófito, que aparece sólo en algunas estaciones. La fauna animal acompañante es esciáfila y poco distinta de la citada. (Véanse las tablas II a VII para un resumen más amplio).

c. Comunidades de fondos blandos

La totalidad de los muestreos parece indicar que los fondos blandos corresponden a la comunidad de Tellina tenuis-Tellina fabula STEPHEN 1933, según la clasificación de THORSON (1957) de las comunidades bentónicas. Según PÉRES & PICARD (1964), esta comunidad es típica de las arenas finas bien calibradas, mareales o inframareales, y su distribución es boreolusitánica. Algunas especies clave de esta comunidad están sustituidas por especies vicariantes (Nephthys incisa - N. hombergii), pero esta diferencia parece no ser suficiente para considerar esta comunidad distinta a la descrita por Stephen.

En todos los casos, un estudio más profundo puede perfilar mejor la delimitación de esta y otras comunidades.

BIBLIOGRAFIA

ANADÓN, R. 1977. Estudio ecológico de la playa de Foz, Ría de Vigo, España, durante los años 1973-1975. Tesis doctoral. Universidad Complutense. Madrid.

ANADÓN, R. 1980. Estudio ecológico de la macrofauna del estuario de la Foz (No de España): I Composición estructural, variación estacional y producción de las comunidades. Inv. Pesq., 44 (3); 407-444.

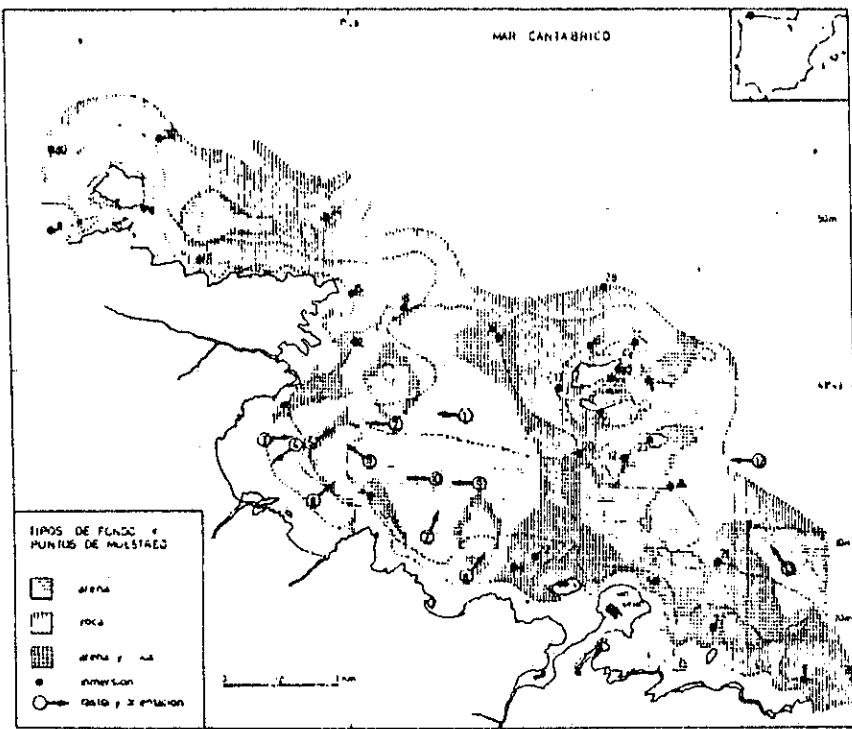
Estrato incrustante. Mesophyllum lichenoides es muy frecuente; forma extensos recubrimientos, junto con poliquetos tubícolas y cirripedos (Balanus spp., ya citados); la fauna no difiere, a no ser por su mayor riqueza, de la que recubre los pedunculos y, sobre todo, los rizoides de Laminaria. En algunas estaciones es notoria la abundancia de Pseudosuberites mollis en este estrato.

La fauna vágil más frecuente y visible por su tamaño es tá formada por Holothuria forskali, Amphipholis squamata y Charonia lampas; el carácter esciáfilo de este estrato permite la presencia de especies propias de mayor profundidad, como Sphaerechinus granularis. En las paredes verticales, sin poblamiento de laminarias, hay un notable empobrecimiento de la población vegetal, a la vez que la fauna es más rica y suele estar constituida por especies esciáfilas, sobre todo esponjas (Haliclona cinerea, Hymeniacidon sanguinea, Leuconia nivea), ascidias (Distomus variolosus, Botryllus schlosseri) y cnidarios (Aglaophenia sp., Parazoanthus axinellae, Eunicella sp., Caryophyllia sp., etc.).

b. Otras comunidades de fondos duros

A partir de las cotas de profundidad indicadas anteriormente, y en los puntos en que las poblaciones de Laminaria son más laxas (fondos de tipo 2), el poblamiento vegetal no presenta una clara dominancia de ninguna especie. Son abundantes: Cryptopleura ramosa, Acrosorium uncinatum, Heterosiphonia plumosa, Corallina officinalis, Dilsea carnosa, Phyllophora sp., Chondrus crispus, Halidrys siliquosa y Dictyopteris membranacea. Abundan pocos rodófitos sobre feófitos; la población animal asociada parece banal en primera aproximación.

En las zonas profundas en las que falta Laminaria (fon-

**FIGURA 1**

Tipos de fondo y puntos de muestreo en el litoral de San Ciprián de Burela, Lugo. La flecha indica la orientación de las rastreras, pero no la longitud del trayecto de las mismas.

ANADÓN, R., GILI, C., GUASCH, E., OLIVELLA, I., POLO, L. & ROS, J.-D. 1979. Distribución del poblamiento bentónico en una zona intermareal de la costa cantábrica gallega. *Ier. Simp. Est. Bentos Marino.*

CASTRIC-FEY, A., GIRARD-DESCATOIRE, A., LAFARGUE, F. & HARDY-HALOS, M.-T. 1973. Étagement des algues et des invertébrés sessiles dans l'Archipel de Glénan. Définition biologique des horizons bathymétriques. *Helgolander wiss. Meeresunters.* 24: 490-459.

DREW, E.A. 1971. Botany. In: *Underwater Science. An Introduction to Experiments by Divers* (J.D. Woods & J.N. Lythgoe, Eds.): 175-211. Oxford University Press. London.

GLÉMAREC, M. 1973. The Benthic Communities of the European North Atlantic Continental Shelf. *Oceanogr. Mar. Biol. Ann. Rev.*, 11: 263-289

HOLME, N.A. & MCINTYRE, A.D. (Eds.). 1971. *Methods for the Study of Marine Benthos*. IBP. Blackwell Scientific Publications, Oxford.

PÉRES, J.M. & PICARD, J. 1955. Biotopes et biocoenoses de la Méditerranée occidentale comparés à ceux de la Manche et de l'Atlantique nord-oriental. *Arch. zool. exp. gén.*, 92 (1).

PÉRES, J.M. & PICARD, J. 1964. Nouveau Manuel de Bionomie Benthique de la Mer Méditerranée. *Rec. Trav. St. Mar. Endoume*, 31 (47): 3-137.

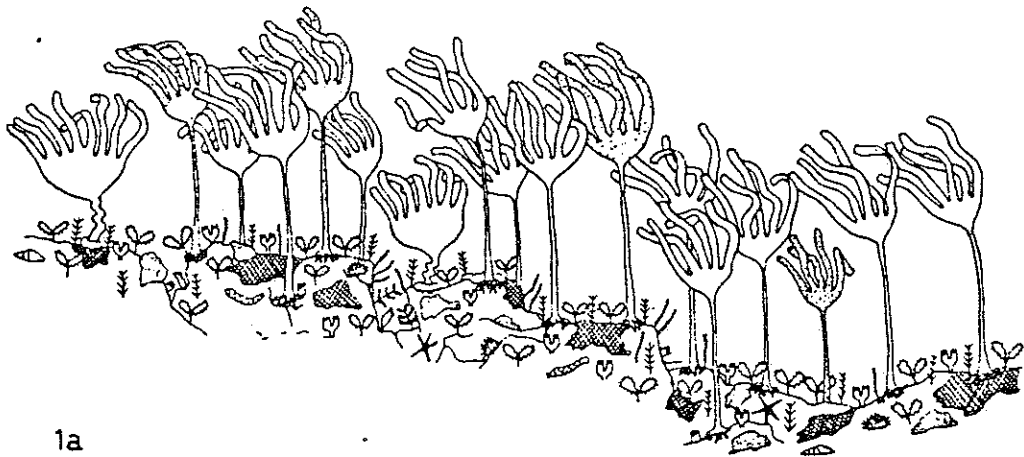
POLO, L., OLIVELLA, I., GILI, C., ANADÓN, R., CARBONELL, J., ALTIMIRA, C. & ROS, J.-D. 1979. Primera aportación a la sistemática de la fauna y flora bentónicas del litoral de S. Ciprián de Burela (Lugo, Galicia). *Ier. Simp. Est. Bentos Marino.*

SALDANHA, L. 1974. Estudo do povoamento dos horizontes superiores da rocha litoral da costa da Arrábida (Portugal). *Arq. Museu Bocage*, 5 (2): 1-382.

SALDANHA, L. 1979. Peuplements benthiques littoraux de substrat rocheux de la côte du Portugal. *Ier. Simp. Est. Bentos Marino.*

SHANNON, C.E. & WEAVER, W. 1963. *The Mathematical theory of communication*. University of Illinois Press. London.

THORSON, G. 1957. Bottom Communities (Sublittoral or Shallow Shelf). In: *Treatise on Marine Ecology and Paleoecology*. I. Ecology. Geol. Soc. America, Mem. 67, (1): 461-534.



1a

FIGURA 3

Fondo de tipo 1a (estación I-11, 15 m).

REPRESENTACION ESQUEMATICA ORGANISMOS

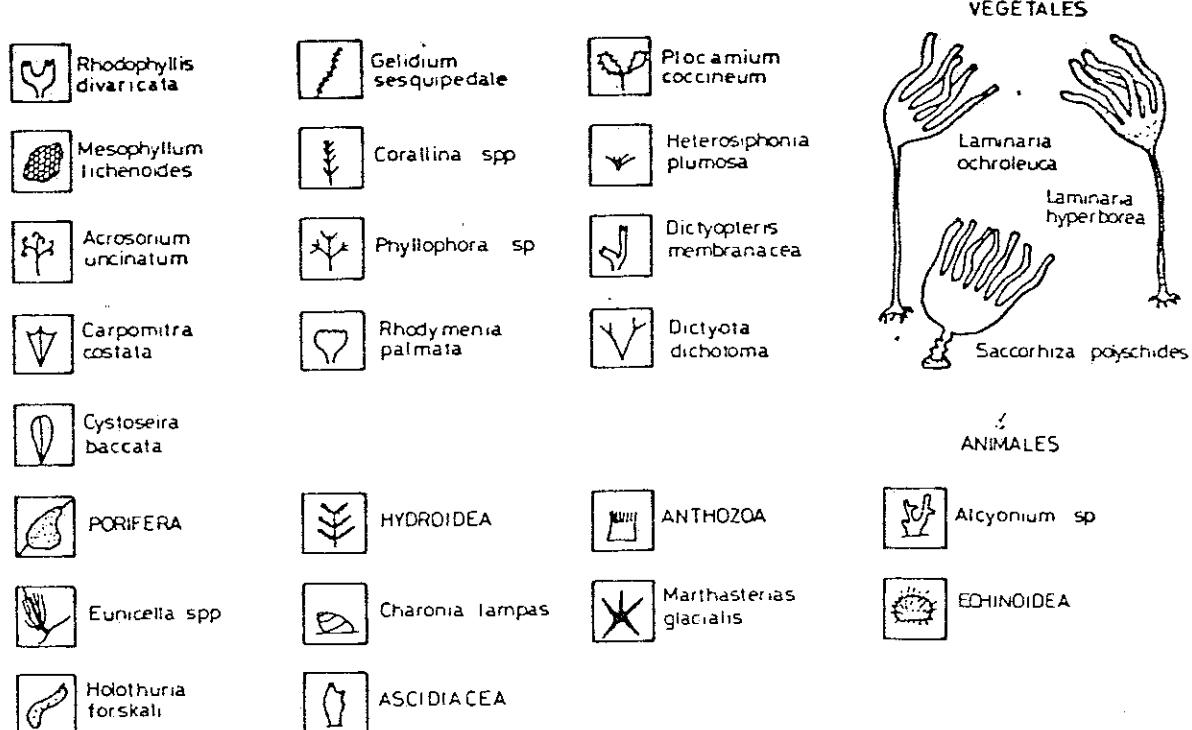


FIGURA 2

Representación simbólica de los organismos que se ilustran en los esquemas de las figuras 3 a 6.

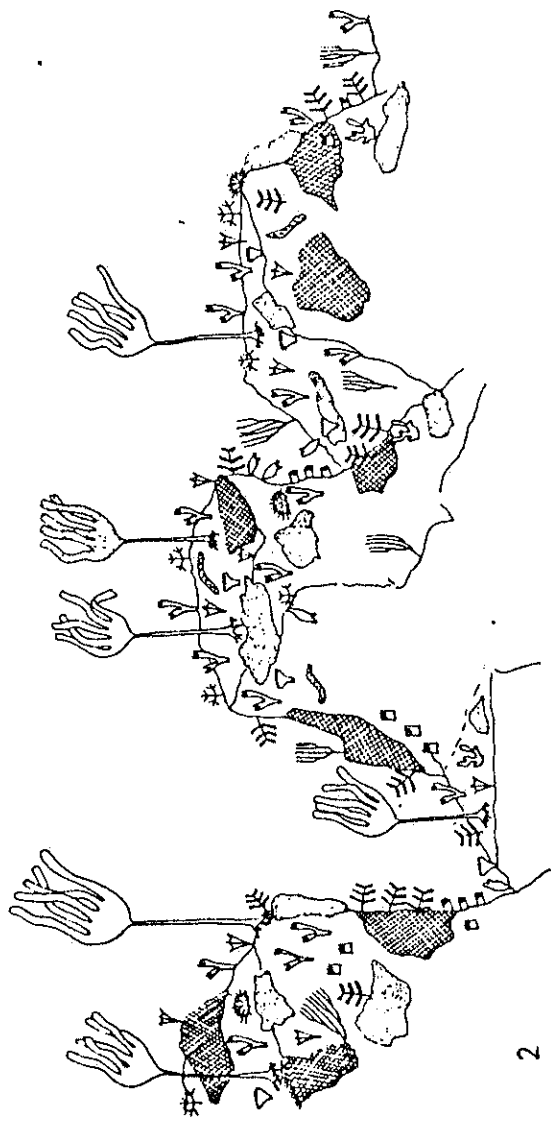


FIGURA 5

Fondo de tipo 2 (estación I-30, 25 m)



FIGURA 4

Fondo de tipo 1b (estación I-14, 11 m).

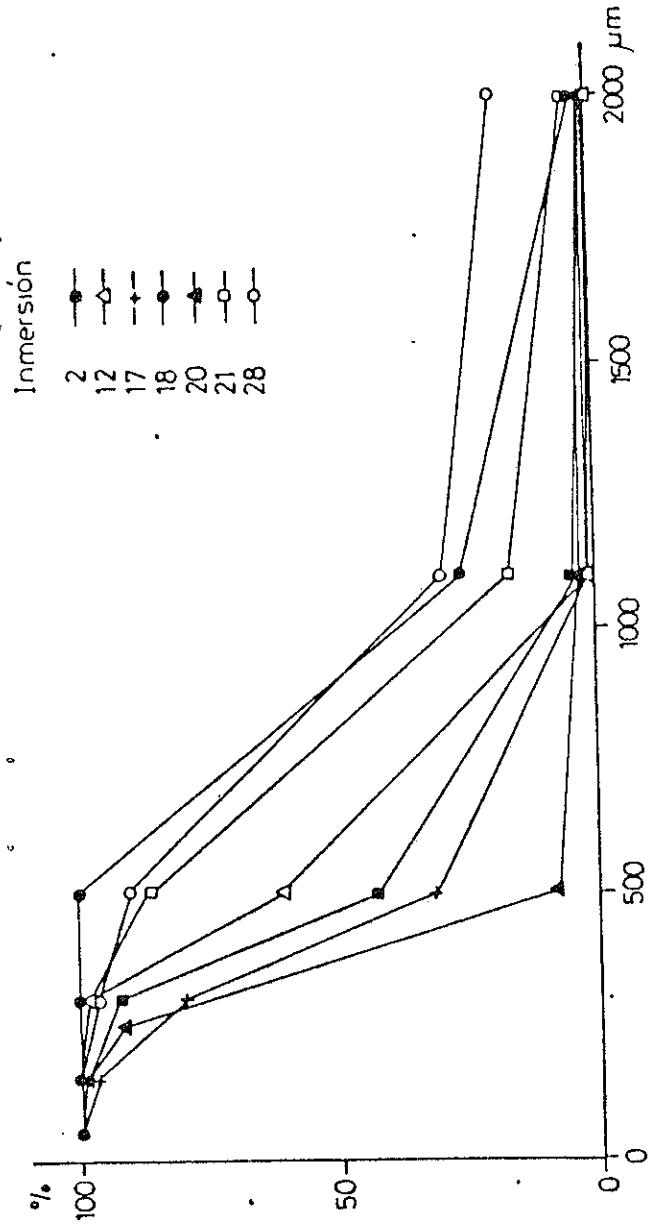


FIGURA 7

Granulometría de siete muestras de sustrato blando procedentes de las estaciones de inmersión que se indican. En ordenadas, porcentaje acumulado de la fracción de sedimento retenida por los tamices cuyo diámetro cuya diámetro se indica en abscisas.

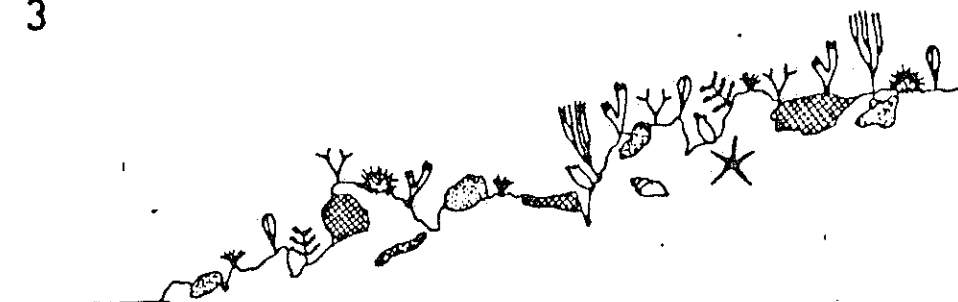
733

3

FIGURA 6

Fondo de tipo 3 (estación I-17, 25 m)

732



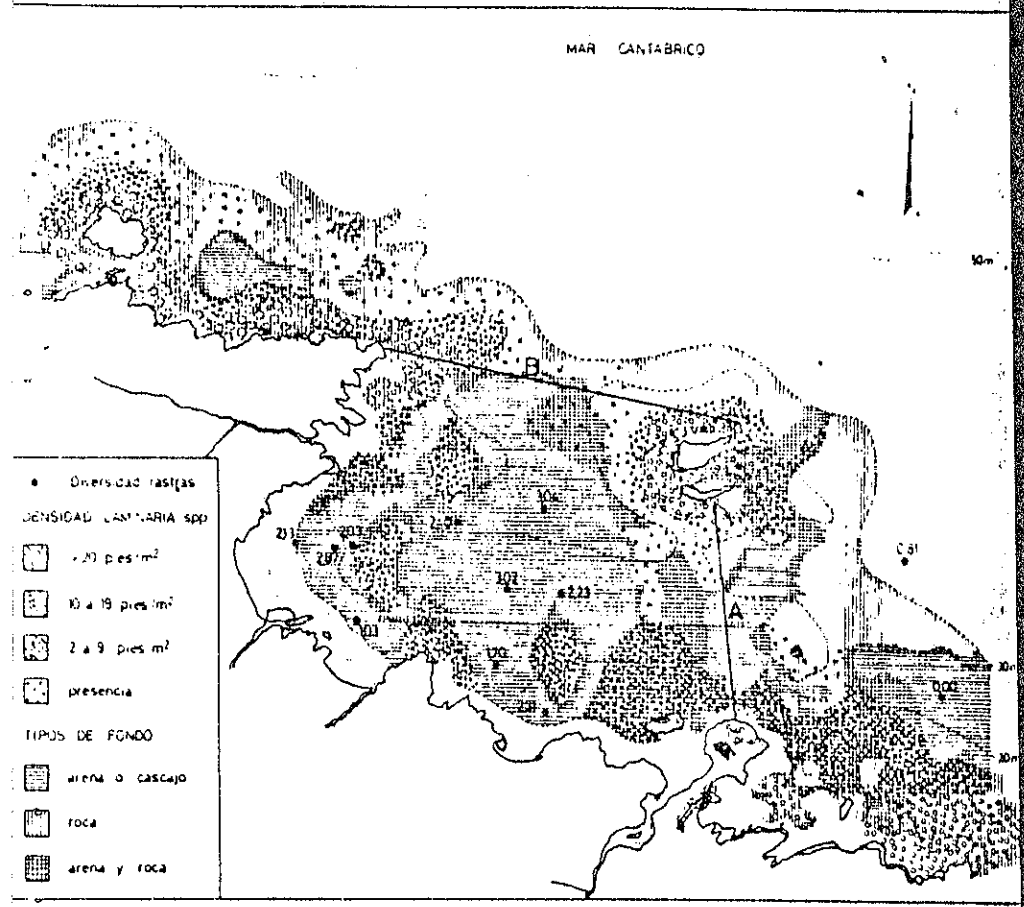


FIGURA 9

Densidad de Laminaria spp. (L. hyperborea + L. ochroleuca) y diversidad de las muestras obtenidas mediante rastreras en la bahía de San Ciprián y costa adyacente. A y B son los transectos que se esquematizan en la fig. 10.

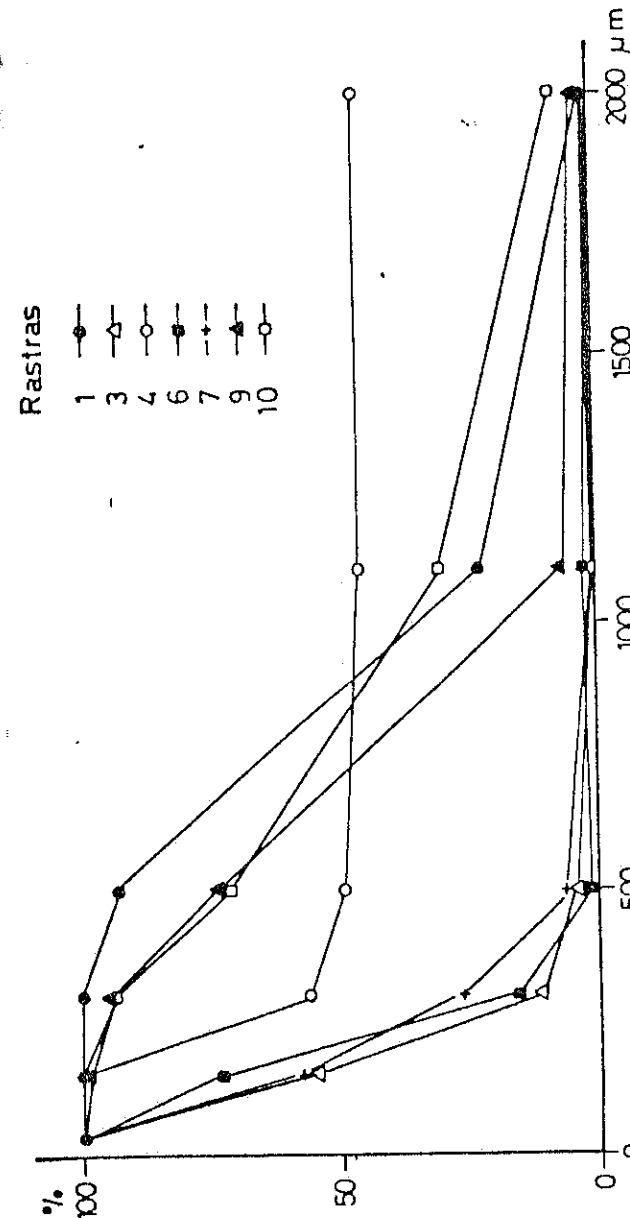
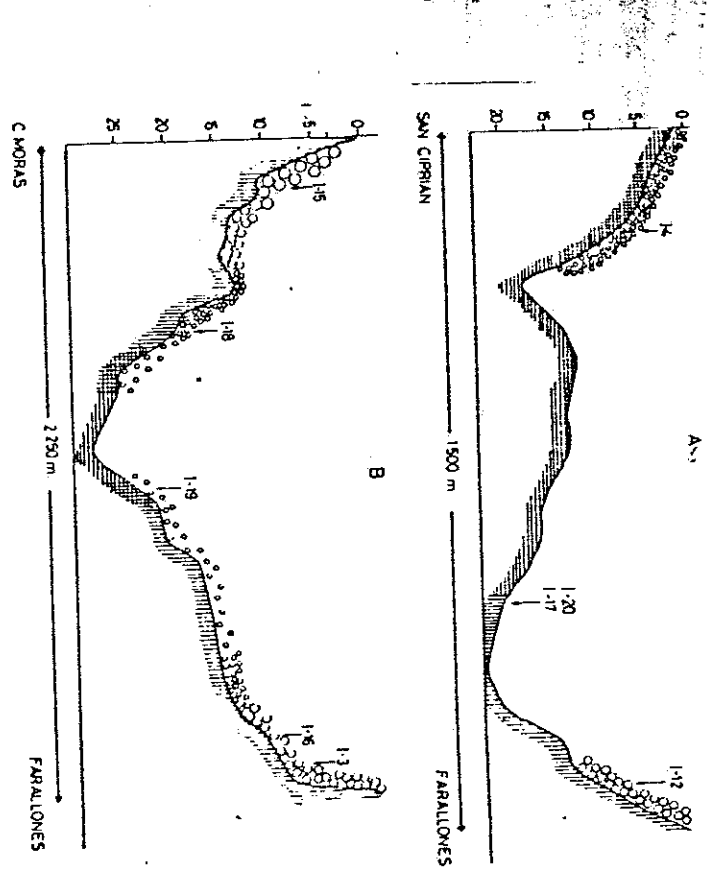
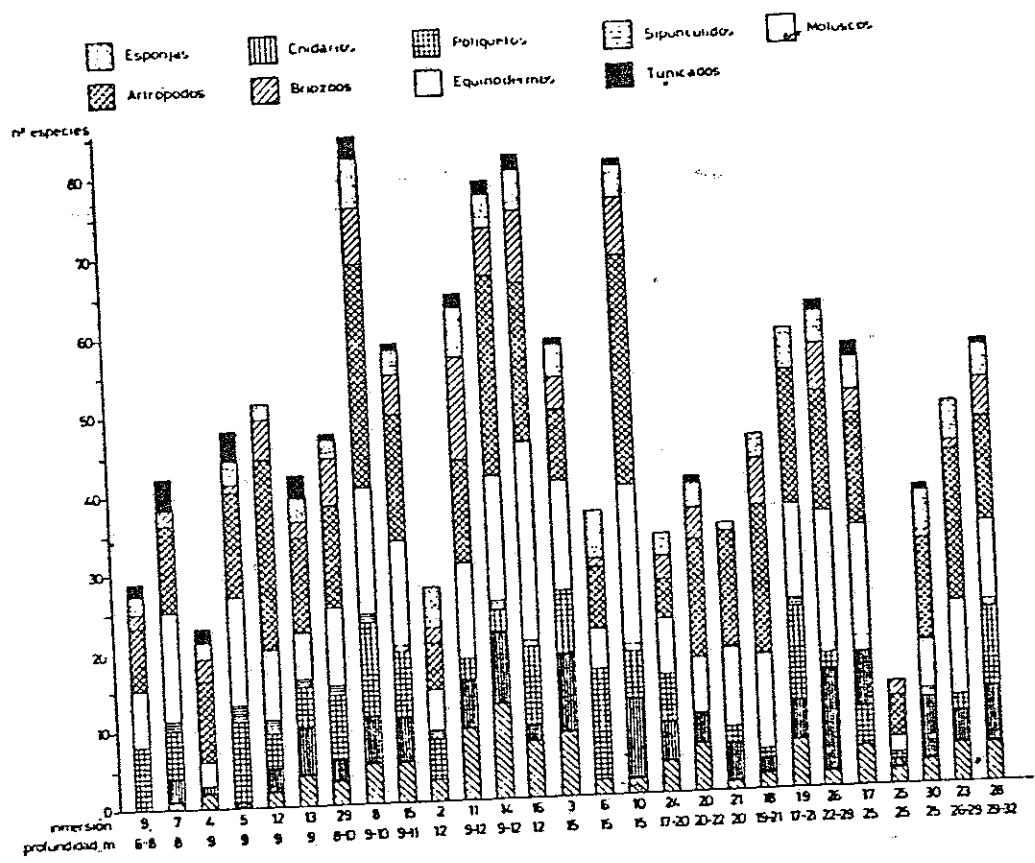


FIGURA 8

Granulometría de siete muestras de sustrato blando procedentes de las rastreras que se indican. Véase fig. 7.



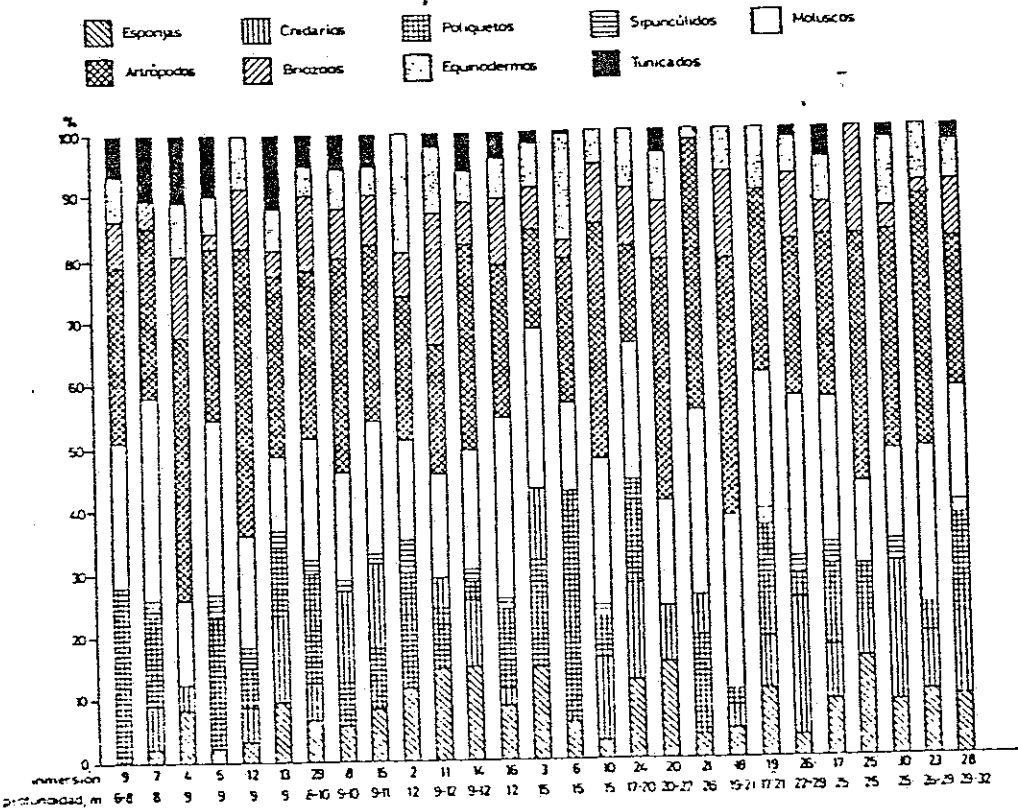
transactos A y B (de la fig. 9), con indicación de la densidad de Laminaria spp. (la notación de la densidad y de los tipos de fondo, como en la fig. 9). Las flechas indican la situación de las estaciones de inmersión.

FIGURA 11.

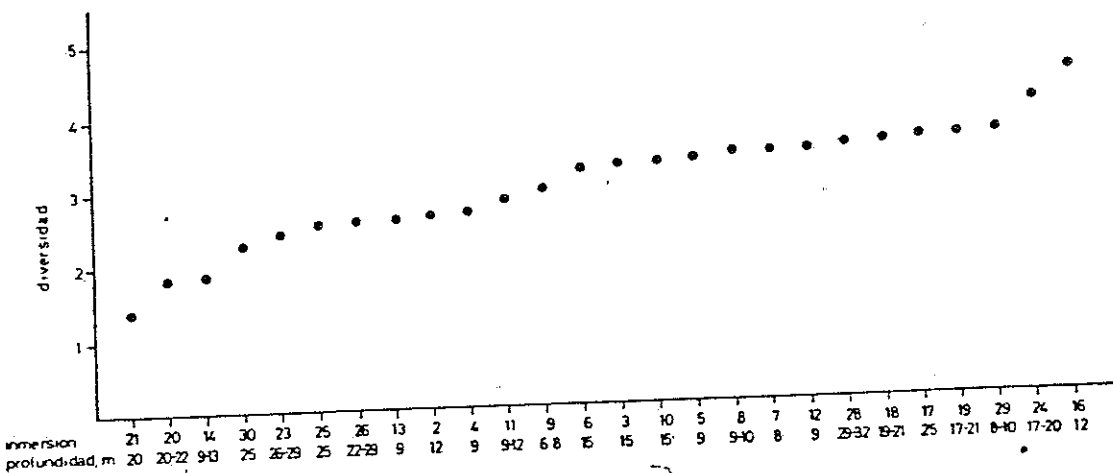
Número de especies animales en las distintas muestras de inmersión (ordenadas por profundidades crecientes).

FIGURA 12

Porcentaje de especies animales en las distintas muestras de inmersión (ordenadas por profundidades crecientes).

FIGURA 13

Diversidades crecientes (en bits/individuo) de las distintas muestras obtenidas en inmersión.



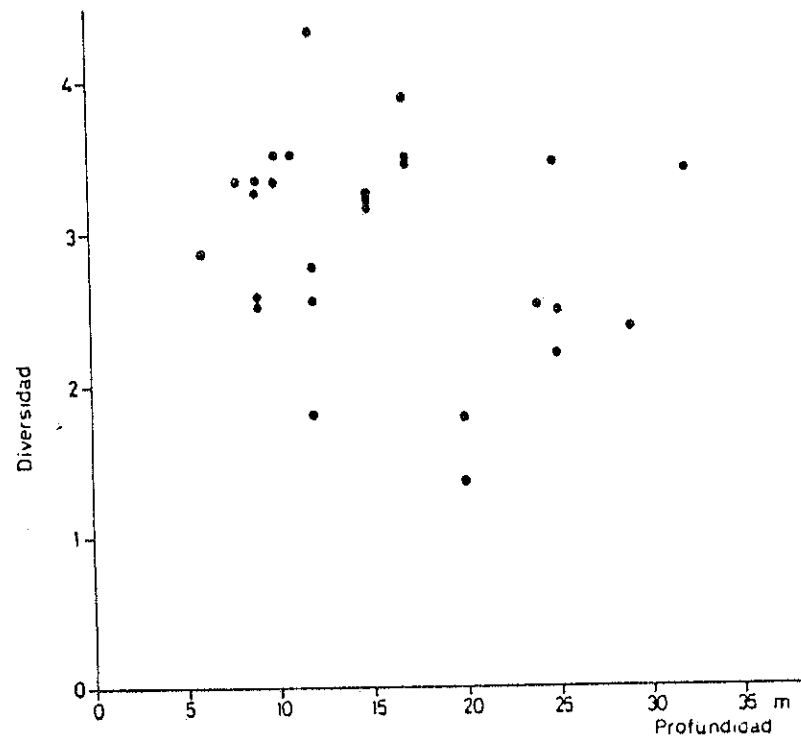
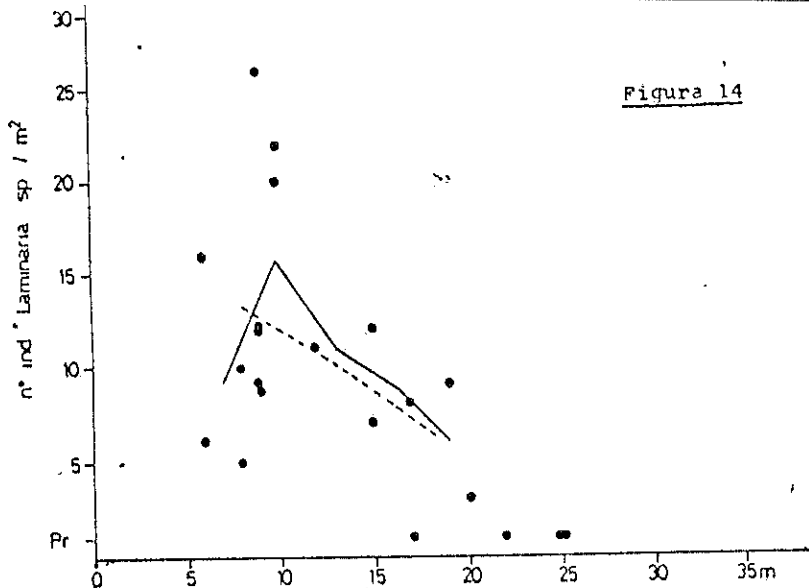
741

FIGURA 14 (carilla opuesta)

Densidad (individuos/m²) de Laminaria spp. en función de la profundidad (14a) y diversidad de las muestras de inmersión en función de la profundidad (14b). Nótese la coincidencia de valores altos alrededor de los 8-12 m. En 14a, la línea continua corresponde a los valores de densidad promediados para intervalos de 3 m, y la discontinua para intervalos de 5 m (véase el texto).

Figura 14

740



Estación	Fecha	Lugar	Profundi- d-d, m	Tipo de fondo	Densidad <i>Laminaria</i> spp./m ²			Diversidad
					Total	<i>L. ochroleuca</i>	<i>L. hyperborea</i>	
I-1	28/07/76	Entre La Buxa y La Sombriza	20	4b	-	+	+	-
I-2	29/07/76	Al N de Punta Ciprián	12	4b	1	+	-	2,58
I-3	30/07/76	Al pie de Los Farallones	15	1a	-	+	+	3,24
I-4	03/07/76	Cabo de San Ciprián	9	4a	9	+	+	2,61
I-5	03/07/76	Al S de Punta Gralino	6-9	4a	6	+	+	3,27
I-6	04/07/76	Punta Anchauza	15	4a	7	+	+	3,21
I-7	06/07/76	Las Pedrosas	8	4a	10	3	7	3,37
I-8	06/07/76	Entre San Ciprián y Playa de Liceiro	9-10	4b	9	7	2	3,36
I-9	07/07/76	Frente a Punta Somonte	6-8	1a	16	13	3	2,89
I-10	07/07/76	Entre Farallones	15	2b	12	7	5	3,25
I-11	09/07/76	Isla Ansarón	9-12	1a	26	24	2	2,79
I-12	10/07/76	Frente a La Buxa	9	1b	12	10	2	3,37
I-13	11/07/76	Entre Farallones	9	1a	12	8	4	2,55
I-14	12/07/76	Entre Cabo "Moris" e Isla Ansarón	9-12	1b	22	16	6	1,90
I-15	12/07/76	Punta Moris	9-11	1b	20	18	2	3,53
I-16	13/07/76	Exterior de Los Farallones	12	1b	11	9	2	4,33
I-17	13/07/76	Frente a La Buxa	25	3	+	-	-	3,49
I-18	15/07/76	Entre Punta Moris y Los Farallones	12-21	2b	9	2	7	3,46
I-19	15/07/76	Entre Los Farallones y Punta Moris	17-21	4a	+	+	+	3,49
I-20	17/07/76	Entre Los Farallones y El Espigón	20-22	3	-	-	-	3,79
I-21	18/07/76	Entre San Ciprián y Gentolleira	20	4b	3	1	2	1,36
I-22	19/07/76	Exterior del Espigón	6-8	2b	+	+	+	-
I-23	20/07/76	Al E de I-17	26-29	2	-	-	-	2,41
I-24	21/07/76	Al N de Punta Moris	17-20	2	8	7	1	3,91
I-25	21/07/76	Entre Los Farallones y San Ciprián	25	3	-	-	-	2,51
I-26	22/07/76	Frente a Isla Ansarón	22-29	2	+	-	-	2,54
I-27	22/07/76	Frente a La Sombriza	12	4b	+	+	+	-
I-28	23/07/76	Al N de Los Farallones	29-32	2	-	-	-	3,43
I-29	23/07/76	Punta Puesta	9-10	1a	5	3	2	3,52
I-30	24/07/76	Isla Ansarón	25	?	+	+	+	2,22
I-31	24/07/76	Al SW de Isla Ansarón	10	arena	-	-	-	-

TABLA 1

Características de las estaciones de inmersión, densidad de *Laminaria* spp. y diversidad de las muestras obtenidas. Véanse las figuras 1 y 9 y el texto.

ALGAS	3	9	11	13	29	14	15	16	23	24	26	28	30	17	20	25	4	5	6	7	19	2	8	10	12	18	21		
<i>Ulva rigida</i>	*																					/							
<i>Codium tomentosum</i>																													
<i>Sphaerularia cirrosa</i>																													
<i>Halopteris filicina</i>																													
<i>Cladostethus verticillatus</i>																													
<i>Taonia atomaria</i>																													
<i>Dictyopteris membranacea</i>																													
<i>Dictyota dichotoma</i>	*	*	*	*	*	30	*	*	*	*	*	*	*	625	25	*	375	625	*	1125	*	*	25	25					
<i>Carposeira costata</i>															25	30	875	750	*				25	125					
<i>Desmarestia ligulata</i>															375														
<i>Desmarestia aculeata</i>															*	*	*												
<i>Phyllaria reniformis</i>															250	*	*	125											
<i>Saccorhiza polyachides</i>	*															2375													
<i>Laminaria hyperborea</i>	*	*	*												*														
<i>Laminaria ochroleuca</i>	*	*	*												*														
<i>Cystoseira baccata</i>	*	*															1000	975	8250	*									
<i>Cystoseira concatenata</i>																						1125	30						
<i>Cystoseira fibrifera</i>																						1250							
<i>Cystoseira granulata</i>																													
<i>Halydria siliquosa</i>	*															250	*	*	*										
<i>Celidium attenuatum</i>																	125												
<i>Celidium sesquipedale</i>	2875														25	*	*												
<i>Dilsea carnosa</i>																+													
<i>Peyssonnelia squamaria</i>	*																												
<i>Nesophyllum lichenoides</i>	500														25														
<i>Lithophyllum incrassata</i>																1875													
<i>Corallina officinalis</i>	125														1000	500	125	30	125										
<i>Corallina elongata</i>	*														25														
<i>Corallina squamata</i>	*																												
<i>Jania rubens</i>																													
<i>Halymenia floresia</i>																	250	*											
<i>Grateloupia filicina</i>																	30												
<i>Callophyllis laciniata</i>																1000													
<i>Kallymenia reniformis</i>															30														
<i>Rhodophyllum appendiculata</i>															30														
<i>Rhodophyllum divaricata</i>	210	*	*												*														
<i>Calliblepharis ciliata</i>																													
<i>Calliblepharis jubata</i>																													
<i>Plocamium coccineum</i>	*																30												
<i>Sphaerococcus coronopifolium</i>																	150												
<i>Phyllophora rubens</i>	50														*														
<i>Phyllophora brodiaei</i>																	25												
<i>Gymnogongrus norvegicus</i>																													
<i>Chondrus crispus</i>																													
<i>Gigartina teedii</i>																													
<i>Rhodymenia palmata</i>																	200												
<i>Rhodymenia palmetta</i>																													
<i>Lomentaria articulata</i>															25														
<i>Bonnemaisonia asparagoides</i>																	25												
<i>Antithamnion plumula</i>																													
<i>Halurus equisetifolius</i>	*																												
<i>Hypoglossum woodwardii</i>																													
<i>Apoglossum ruscifolium</i>																													
<i>Nitophyllum punctatum</i>																													
<i>Cryptopleura ramosa</i>	*	250	30	20	125	25	125	25	25	25	25	25	25	25	25	25	25	25	25	25	25	25	25	25	25	25	25	25	
<i>Mesoroptium uncinatum</i>		25	20	375	500	20	*	*	*	*	*	*	*	*	25	*	125	200	25	10	25	20	20	20	20	20	20	20	20
<i>Polynearia hilliae</i>																													
<i>Heterosiphonia plumosa</i>	*	20	25	*	1375	1750	25	125	*	*	*	*	*	*	250	200	25	875	125	30	250	500	130	*	*	30	675	35	*
<i>Pterosiphonia complanata</i>																													
<i>Pterosiphonia parasitica</i>																													
<i>Odonthalia dentata</i>																													

743

TABLA II

Distribución de las distintas especies de algas en las muestras procedentes de estaciones de inmersión (ordenadas por tipos de fondo). Datos en peso húmedo escurrido (g); + indica presencia en los muestreros de visu

Tabla III. Distribución de especies de esponjas y cnidarios en las muestras procedentes de estaciones de inmersión.(ordenadas por tipo de fondo). Datos en valores de abundancia-dominancia (esponjas) y de nd v d os (cnidarios), para los muestreos puntuales, y presencias, para los muestreos de visu (bajo la barra).

<u>POLYCHAETA</u>	3	9	11	13	29	14	15	16	23	24	26	28	17	25	5	6	7	19	2	8	10	12	18	21	
Harmothoe sp.		1																							
Lepidonotus clava				1	1																				
Polynoidae sp. 1		1																							
Polynoidae sp. 2																	2		1						
Aphroditidae sp. 1																	1		2						
Aphroditidae sp. 2																	2								
Euphrosine foliosa																	1								
Eulalia viridis																	3								
Eulalia sp.																	1								
Phyllodoce rubiginosa	1																1		1						
Phyllodoce sp.	2	2	1														3		1						
Phyllodocidae sp. 1																	1								
Phyllodocidae sp. 2																	1								
Phyllodocidae sp. 3																	1								
Hesionidae n. i.																									
Syllis variegata	1	1															2		2	3					
Syllis hyalina	2	2															1								
Syllis sp. 1																	2		F						
Syllis sp. 2																	1		2	F					
Syllis sp. 3																			F						
Syllidae n. i.	2																1		3	3	3	1	1		
Sphaerosyllis hystrix		1															1								
Trypanosyllis zebra																	1								
Grubes sp.																									
Platynereis dumerili	1	1															1				5	1			
Nereis pelagica		1															1							4	
Nereidat n. i.																	1		3	1					
Eunicia harasii	4	2															2		1						
Lysidice ninetta	4	1															2		1	2	1				
Arabella irioolor																	1				1	3			
Lumbrineris sp.																	1						1		
Cirratulus cirratus																									
Dodecaceria concharum						1												2	2		1				
Sabellaria spinulosa						1												1			3				
Terebellidae n. i.																	1				2				
Amphiglene mediterranea																			2						
Dasychone lucullana																			6	1				1	
Sabellidae sp. 1						1													1						
Sabellidae sp. 2																				1					
Sabellidae n. i.		1															1								
Pomatoceros triquetus	1	7				1											4		1		100	6	3	2	2
Spirobranchus polytrema		1																T							T
Serpulidae n. i.																									
<u>SIPUNCULIDA</u>	13	29	14	15	16	26	28	30	17	5	7	19	2	8	10	12									
Phascolosoma vulgare																	1/	2/	/+	3/		1/			
Physcosoma granulatum																	1/+	1/	/+	1/2/+	/+	3/	/+		
Aspidosiphon mulleri																					1/				

TABLA IV

Distribución de las especies de poliquetos y sipuncúlidos en las muestras procedentes de estaciones de inmersión (ordenadas por tipos de fondo). Datos en número de individuos (poliquetos) y en la doble escala indicada en la tabla III (sipuncúlidos). F, fragmentos; T, tubos vacíos.

Sh
S

TABLE V

Distribución de las especies de moluscos en las muestras procedentes de estaciones de inmersión (ordenadas por tipos de fondo) datos en la doble escala indicada en la tabla III.

	3	9	11	13	20	14	15	16	23	24	28	26	30	17	20	25	4	5	6	7	19	2	8	10	12	18	21	27	x	
CRUSTACEA	3	9	11	13	20	14	15	16	23	24	28	26	30	17	20	25	4	5	6	7	19	2	8	10	12	18	21	27		
Balanus cf. amphitrite					/3	1/	1/				2/+		1/+	1/-		/3	5/	90/30	26/	1/	1/	175/100 ²								
Balanus perforatus	/2	1/	100 ²			1/	2/1		90 ²	2/						/1	/8	3/	6/8	1/6	6/20	2/								
Balanus spongicola		5/							2/2																					
Balanus sp.																														
Acasta spongites																														
Verrucosa astrosoma																														
Tunaidaceas n. f.																														
Gnathia maxilaris																														
Gnathia sp.																														
Anthuria gracilis																														
Paranthura costae																														
Cymodocea truncata																														
Dynamene bidentata																														
Synisoma lancifer																														
Synisoma acuminatum																														
Idotes cf. pelagica																														
Astacilla longicornis																														
Arcturella dannoniensis																														
Arcturella cf. dilatata																														
Janira maculosa																														
Lysianassa sp.																														
Orchomenes sp.																														
Lysianassidae n. i.																														
Ampelisca sp.																														
Apherusa sp.																														
Parapleustes bicuspis																														
Nototropis swammerdami																														
Peltocoxa marionni																														
Eusirooides dellavallei																														
Eunirrus longipes																														
Melitta gladiosea																														
Maera inaequipes																														
Gammarus sp.																														
Gammaridae n. f.																														
Leucothoe spinicarpa																														
Colomastix pusilla																														
Panoploea minuta																														
Dexamine spinosa																														
Dexamine sp.																														
Allorchestes sp.																														
Acora typica																														
Aoridae n. i.																														
Leptocheirus sp.																														
Jassa falcata																														
Jassa sp.																														
Erichtonius brasiliensis																														
Hyperia galba																														
Phtisica marina																														
Pseudoprotella phasma																														
Caprella acanthifera																														
Caprella fretensis																														
Caprella linearis																														
Mysidacea n.i.																														
Thoralus cranchii																														
Hippolyte varians																														
Hippolyte leptocerus																														
Hippolyte sp.																														
Athanas nitescens																														
Pagurus cumensis																														
Pagurus cf. prideauxi																														
Catapaguroidea timidus																														
Anapagurus hyndmanni																														
Anapagurus sp.																														
Galathea strigosa																														
Pisidia longimana																														
Pisidia longimana																														
Pirimela denticulata																														
Macropipus puber																														
Xanthe incisa granulicarpus																														
Pilumnus hirtellus																														
Maja squinado																														
Pisces tetraodon																														
Pisces nodipes																														
Inachus phalangium																														
Macropodius rostrata																														
Euryomene aspera																														
Achaeus cranchii																														
Achaeus gordoneae																														

TABLA VI

Distribución de las especies de crustáceos en las muestras procedentes de estaciones de inmersión (ordenadas por tipos de fondo). Datos en la doble escala indicada en la tabla III. Para algunos cirrípedos (x) los datos son en número de individuos/m²

TABLA VI

TABLA VI</

	3	9	11	13	29	14	15	16	23	24	26	28	30	17	20	25	4	6	8	7	18	2	8	10	12	18	21	27	
CRUSTACEA																													
Balanus cf. amphitrite						/2	1/	1/2																					
Balanus perforatus							1/	2/1																					
Balanus spongicola																													
Balanus sp.																													
Acasta spongites																													
Verruca stroemia																													
Tenuidae n. i.																													
Gnathia maxilaris																													
Gnathia sp.																													
Anitura gracilis																													
Paranitura costata																													
Cymodocia truncata																													
Dynamene bidentata																													
Synisoma lancifer																													
Synisoma acuminatum																													
Idotes cf. pelagica																													
Astacilla longicornis																													
Arcturella damoniensis																													
Arcturella cf. dilatata																													
Janira maculosa																													
Lysianassa sp.																													
Orchomena sp.																													
Lysianassidae n. i.																													
Amphelisca sp.																													
Apherusa sp.																													
Parapleustes bicuspis																													
Nototropis swammerdami																													
Peltocoxa marionni																													
Eusirooides dellavallei																													
Eusirus longipes																													
Melitta gladiosa																													
Maera inaequipes																													
Gammarus sp.																													
Gammaridae n. i.																													
Leucothoe spinicarpa																													
Colomastix pusilla																													
Panoploea minuta																													
Dexamine spinosa																													
Dexamine sp.																													
Allorchestes sp.																													
Aora typica																													
Aoridae n. i.																													
Leptocheirus sp.																													
Jassa falcatula																													
Jassa sp.																													
Erichtonius brasiliensis																													
Hyperia galba																													
Phtisica marina																													
Pseudoprotella phasma																													
Caprella acanthifera																													
Caprella fretensis																													
Caprella linearis																													
Mysidaceae n. i.																													
Thoralus cranchii																													
Hippolyte varians																													
Hippolyte leptocerus																													
Hippolyte sp.																													
Athanas nitescens																													
Pagurus cuanensis																													
Pagurus cf. prideauxi																													
Catapagurus timidus																													
Anapagurus hyndmanni																													
Anapagurus sp.																													
Galathea strigosa																													
Pisidium longicornis																													
Pisidium longimanum																													
Pirimela puberula																													
Macropipus puber																													
Xantho incisa granulicarpus																													
Pilumnus hirtellus																													
Maja squinado																													
Pisa tetraodon																													
Pisa nodipes																													
Inachus phalangium																													
Macropodia rostrata																													
Eury nome aspera																													
Achaeus cranchii																													
Achaeus gordoneae																													

TABLA VI
 Distribución de las especies de crustáceos en las muestras procedentes de estaciones de inmersión (ordenadas por tipos de fondo). Datos en la doble escala indicada en la tabla III. Para algunos cirrípedos (x) los datos son en número de individuos/m²

L77

	♂	♀	+/	/+ /+				
<i>Amathia</i> sp.		/+ +/	+/*	/+ /+				
<i>Aetea anguina</i>		/+						
<i>Scruparia chelata</i>		/+		- /+				
<i>Membranipora membranacea</i>	+/	/+	/+	-				
<i>Microporidiae n. i.</i>								
<i>Electra pilosa</i>	+/	/+ +/+/+/+/	/+		+/+			
<i>Electra</i> sp.	/+	+/ /+		/+	/+			
<i>Alderinidae</i> sp. 1		/+				/+		
<i>Alderinidae</i> sp. 2						/+		
<i>Alderinidae</i> sp. 3						/+		
<i>Alderinidae</i> sp. 4						/+		
<i>Alderinidae</i> sp. 5						/+		
<i>Cellaria salicornia</i>	+/		+/ /+ +/					+/
<i>Scrupocellaria reptans</i>			+/-/+					
<i>Scrupocellaria scruposa</i>		+/+ +/	+/ +/	+/ +/ /+				
<i>Scrupocellaria scruposa</i>	+/			+/-/+				
<i>Cribriolina</i> sp.						/+		
<i>Escharoides coccineus</i>		/+						
<i>Membraniporella</i> sp.			/+					
<i>Cribrioliniidae</i> sp. 1		/+		/+				
<i>Cribrioliniidae</i> sp. 2		/+						
<i>Hippodiplosia fascialis</i>			/+	+/*	/++/*			
" <i>Schismopora</i> " sp.								
<i>Schizoporella</i> sp. 1				/+				
<i>Schizoporella</i> sp. 2	+/	+/*	/+			/+	/+	
<i>Schizoporella</i> sp. 3			/+					
<i>Crisia denticulata</i>			/+ +/	+/*	/+	/+		
<i>Crisia</i> sp.			/+					

ECHINODERMATA

TENTATIVE

TABLA VII

Distribución de las especies de briozoos, equinodermos y as
cidias en las muestras procedentes de estaciones de inmer-
sión (ordenadas por tipos de fondo). Datos en la doble es-
cala indicada en la tabla III.

	1	2	3	4	5	6	7	8	9	10	11	12	13
<i>Leucosolenia</i> sp.							1						
<i>Calcarina</i> n. sp.													
<i>Adamasia pallida</i>					10								
<i>Nereididae</i> n. sp.													
<i>Nephthys hombergi</i>	1		6		5	3							
<i>Glycera convoluta</i>							1						
<i>Diopatra neapolitana</i>					3	3							
<i>Phyllo</i> sp.										2			
<i>Scoloplos armiger</i>		7			12	4							
<i>Lagis koreni</i>							1						
<i>Lamellis conchylega</i>			8		1	6							
<i>Clymenura clypeata</i>				1									
<i>Maldanidae</i> n. sp.							+						
<i>Pomatoceros triquetus</i>								50					
<i>Sipunculus nudus</i>			1										
<i>Patella</i> sp.						+							
<i>Helcion pellucidus</i>		+				+							
<i>Fissurella reticulata</i>								+					
<i>Haliotis tuberculata</i>	+	+											
<i>Gibbula magus</i>					+								
<i>Gibbula cineraria</i>						+							
<i>Gibbula umbilicalis</i>						+							
<i>Littorina littorea</i>					+								
<i>Calliostoma zizyphinus</i>	+	+			+								
<i>Lunatia catena</i>						+							
<i>Epteronium clathrus</i>					+	+							
<i>Cantharididae</i> sp.		+											
<i>Bittium reticulatum</i>			+										
<i>Trunculariopsis trunculus</i>				+		+							
<i>Hinia reticulata</i>	2	1	22	4	+			3	2				
<i>Hinia incrassata</i>			+		+	+							
<i>Ancilla lapillus</i>			+	+	+	+							
<i>Rissoidae</i> n. sp.	2												
<i>Arca noae</i>								+					
<i>Glycimeris glycimeris</i>	1						+		+	1			
<i>Acanthocardia echinata</i>				+									
<i>Lacvicardium norvegicum</i>									+				
<i>Chamelea gallina</i>										5	2		
<i>Claninella fasciata</i>	3		2										
<i>Calista chione</i>			+										
<i>Donax vittatus</i>					+								
<i>Angulus incornutus</i>		+						1	3	3		2	
<i>Angulus tenuis</i>													
<i>Fabulina fabula</i>			+										
<i>Psammocula depressa</i>		+											
<i>Cardia ferkenmeierii</i>				+									
<i>Spisula elliptica</i>		+	3				+						
<i>Spisula solidissima</i>		+					+			8	4		
<i>Mactra corallina</i>	3		+		+	+							
<i>Ensis ensis</i>			+										
<i>Ensis siliquea</i>	3	+	5	1									
<i>Bosmina lupinus</i>		+	1										
<i>Solecurtus strigillatus</i>			+			+							
<i>Mytilus edulis</i>		+	+										
<i>Mytilus arcticus</i>													
<i>Anomia ephippium</i>										4			
<i>Chlamys varia</i>													
<i>Protocpecten glaber</i>													
<i>Seraphopoda</i> n. sp.										13			
<i>Idotea linearis</i>							1						
<i>Idotea baltica</i>								11	2				
<i>Idotea marginata</i>								75	8				
<i>Camerarius locusta</i>							3						
<i>Crangon crangon</i>		8											
<i>Diogenes pugilator</i>	4	7	30	85	6	1	1						
<i>Pagurus prideauxii</i>			10										
<i>Pagurus bernhardus</i>	1		36										
<i>Lilioceratessa subterranea</i>			1										
<i>Thrix acutellata</i>									1	1			
<i>Curonites cassivelaunus</i>													
<i>Macropipus depuratus</i>													
<i>Macropipus vermiculus</i>	2									4	2		
<i>Macropipus marmoratus</i>		1			1								
<i>Macropipus</i> sp.	2					3							
<i>Xantho incisa</i>							1						
<i>Macropodia rostrata</i>					1								
<i>Xaja squinado</i>					1								
<i>Balanus perforatus</i>							7						
<i>Balanus eburneus</i>							1						
<i>Micrabranchia membranacea</i>	61						11						
<i>Ticella pilosa</i>							11						
<i>Cellaria</i> sp.	11												
<i>Sphaerechinus granularis</i>													
<i>Paramechinus miliaris</i>													
<i>Ichnocystis pusillus</i>	1												
<i>Lamellariscardium cordatum</i>	3		+						2	3			
<i>Astropecten irregularis</i>										1			
<i>Ophiothrix fragilis</i>	2						2						
<i>Acastidae</i> n. sp.	3								1	3			
DIVERSIDAD	3,04	2,40	2,13	2,87	2,03	1,03	1,70	2,31	2,23	3,02	0,81	0,0	

TABLA VIII

Distribución de las especies animales en las distintas muestras procedentes de rastras. Datos en número de individuos; +, animales muertos (conchas, etc.); diversidades de las rastras en la última fila.

750

Muestra	Crustáceos	Moluscos	Pelecíopes	Total
I-2	1,43	2,50	2,15	2,58
I-3	1,94	2,26	2,00	3,24
I-4	1,21	0,81	1,67	2,61
I-5	2,37	2,33	1,73	3,27
I-6	1,06	1,54	3,14	3,21
I-7	1,53	2,05	2,17	3,37
I-8	3,24	1,26	3,16	3,36
I-9	1,15	2,42	2,54	2,39
I-10	1,66	2,30	1,94	3,25
I-11	0,66	1,50	1,99	2,79
I-12	3,18	1,92	1,79	3,37
I-13	1,36	0,59	2,32	2,55
I-14	-	2,19	2,10	1,70
I-15	3,12	2,35	2,75	3,53
I-16	2,33	3,56	3,09	4,33
I-17	1,77	1,43	2,35	3,29
I-18	2,75	1,26	0	3,49
I-19	1,14	2,39	2,62	3,19
I-20	2,39	-	-	1,79
I-21	1,42	0,91	-	1,36
I-22	2,35	1,74	0	2,41
I-23	1,70	1,56	2,41	3,21
I-24	2,07	1,50	0	2,51
I-25	2,17	1,50	1,00	2,54
I-26	1,89	1,15	2,30	3,13
I-27	2,09	2,19	3,16	3,52
I-28	1,52	1,93	-	2,82

TABLA IX

Diversidad específica (bits/individuo) de las tres taxocenosis más importantes en las muestras obtenidas en inmersión, y diversidad total (considerando únicamente los tres grupos anteriores).